

## T 190 ELEKTROS INŽINERIJA

## Paviršiaus reiškinys asinchroninių ryškiapolių elektros variklių rotoriuose

**V. Katkevičius, S. Gečys, A. Kalvaitis**

*Elektros sistemu katedra, Kauno technologijos universitetas,  
Studentų g. 48, LT – 51367 Kaunas, Lietuva, tel. +370 37 351318*

### Ivadas

Trifazių asinchroninių variklių narvelinių rotorių strypuose paviršiaus reiškinys yra gana gerai išnagrinėtas [1–6]. Paviršiaus reiškinys trifazių asinchroninių variklių rotoriaus strypuose yra vertinamas tik paleidimo taške ( $s=1$ ), kai rotoriaus griovelio aukštis viršija 1,4 cm, jei strypai aliumininiai, ir 1,0 cm, jei strypai variniai. Nagrinėjant asinchroninius ryškiapolius variklius, šio reiškinio nepaisoma, nes griovelį aukščiai paprastai būna mažesni už paminėtus.

Vienfaziuose asinchroniniuose ryškiapoliuose varikliuose, be pagrindinės magnetinio lauko harmonikos, yra aukštesniųjų  $v$ -osios eilės žemesnio numero harmonikų, sukuriantiesiems tiesioginius ir atvirkštinius sukuošius magnetinius laukus, kurių vertės gali būti artimos pagrindinio sukuojo magnetinio lauko verte. Šie aukštesniųjų harmonikų sukamieji magnetiniai laukai indukuoja rotoriuje elektrovaras, kurių dažnis, mažėjant rotoriaus slydimui, didėja.

$v$ -osios sukuojo magnetinio lauko harmonikos indukuotos rotoriaus elektrovaros dažnis:

$$f_{2v}^{\pm} = \frac{n_1 \mp v n}{n_1} f_1; \quad (1)$$

čia „+“ – tiesioginio sukuojo magnetinio lauko rotoriuje indukuotos elektrovaros dažnis; „-“ – atvirkštinio sukuojo magnetinio lauko rotoriuje indukuotos elektrovaros dažnis;  $n_1$  – pagrindinio sukuojo magnetinio lauko sukuoši greitis;  $f_1$  – tinklo dažnis;  $n$  – rotoriaus sukuoši greitis.

Arba

$$f_{2v}^{\pm} = s_v^{\pm} f_1; \quad (2)$$

čia

$$s_v^{\pm} = \frac{n_1 \mp v n}{n_1}. \quad (3)$$

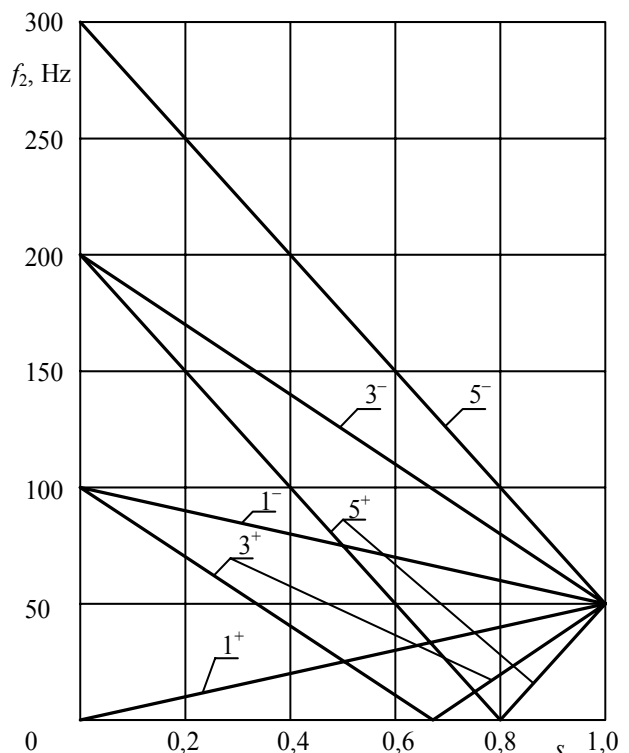
Jeigu statoriaus magnetinis laukas turi  $1^+$ ,  $1^-$ ,  $3^+$ ,  $3^-$ ,  $5^+$  ir  $5^-$  sukuošias magnetinio lauko harmonikų dedamąsių, tai rotoriuje jos sukurs elektrovaras ir sroves, kurios kurs tokio pat numero ir sukuoši krypties sukuošius magnetinius laukus rotoriuje, kurie, sąveikaudami su statoriaus magnetiniais laukais, kurs asinchroninius sukuošimo momentus. Slydimo ribose nuo  $s=0$  iki  $s=s_k$  (čia  $s_k$  –

kritinis slydimas, kuriam esant  $M=M_{\max}$ ) visų aukštesnės eilės harmonikų, taip pat ir atvirkštinės pagrindinės (pirmosios) harmonikos kuriami asinchroniniai sukuošimo momentai yra neigiami:

$$M = M_1^+ - M_1^- - M_3^+ - M_3^- - M_5^+ - \dots \quad (4)$$

### Tyrimo objektas ir metodika

Kaip buvo paminėta, elektrovaros, taip pat srovių dažnis rotoriuje priklauso nuo sukuojo magnetinio lauko harmonikos eilės numero, jos sukuoši krypties ir slydimo. Dažnio priklausomybė nuo slydimo, esant kiekvienai sukuojo magnetinio lauko harmonikai, pavaizduota 1 paveiksle.



**1 pav.** Rotoriuje indukuotų elektrovarų ir srovių dažnio priklausomybė nuo slydimo esant  $1^+$ ,  $1^-$ ,  $3^+$ ,  $3^-$ ,  $5^+$  ir  $5^-$  sukuojo magnetinio lauko harmonikoms

Kaip matome iš 1 paveikslėlio, indukuotų elektrovarų dažnis didėja mažėjant slydimui. Pavyzdžiui, rotorui sukantis slydimu  $s = 0,1$ , pagrindinio magnetinio lauko indukuotas elektrovaros dažnis rotoruje bus 5 Hz, trečiosios harmonikos atvirkštinio lauko – 185 Hz, o penktosios harmonikos atvirkštinio lauko – 275 Hz ir t. t. Todėl galima teigti, kad vienfazių asynchroninių ryškiapolių variklių paviršiaus reiškinys pasireiškė jems dirbant mažais slydimais, t. y. tuščiaja veika, nominaliuoju režimu. Didėjant srovės dažniui rotoruje, reikėtų laikytis, kad visuotinai priimti kritiniai rotoriaus strypų (griovelų) aukščiai (1,4 cm – Al; 1,0 cm – Cu) turi mažėti.

Šio darbo tikslas – nustatyti vienfazių asynchroninių ryškiapolių variklių, dirbančių mažais slydimais, kritinių strypų aukštij, kuriam esant reikėtų vertinti paviršiaus reiškinį, t. y. rotoriaus varžų pasikeitimą.

Paviršiaus reiškinys pasireiškia tik toje rotoriaus apvijos dalyje, kuri yra rotoriaus grioveliuose. Todėl aktyviajį  $R_2$  ir induktyviajį  $X_2$  rotoriaus varžas galima išreikšti taip:

$$R_2 = k_R R_{2st} + R_{2gal}; \quad (5)$$

$$X_2 = k_X X_{2st} + X_{2gal}; \quad (6)$$

čia  $R_{2st}$ ,  $X_{2st}$  – rotoriaus grioveliuose esančių strypų varžos;  $R_{2gal}$ ,  $X_{2gal}$  – galūnių (narvelinio rotoriaus žiedų) varžos;  $k_R$ ,  $k_X$  – koeficientai, įvertinantys varžų pasikeitimus dėl paviršiaus reiškinio.

Šie koeficientai yra slydimo ir indukuotų elektrovarų rotoruje dažnio funkcijos:

$$k_R = \xi \frac{\sinh 2\xi + \sin 2\xi}{\cosh 2\xi - \cos 2\xi}; \quad (7)$$

$$k_X = \frac{3}{2\xi} \frac{\sinh 2\xi - \sin 2\xi}{\cosh 2\xi - \cos 2\xi}; \quad (8)$$

čia  $\xi = \frac{h}{h_k}$ ;  $h$  – rotoriaus strypo aukštis;  $h_k$  – kritinis rotoriaus strypo aukštis:

$$h_k = \sqrt{\frac{2}{\mu_0 \gamma \omega_v^\pm}}; \quad (9)$$

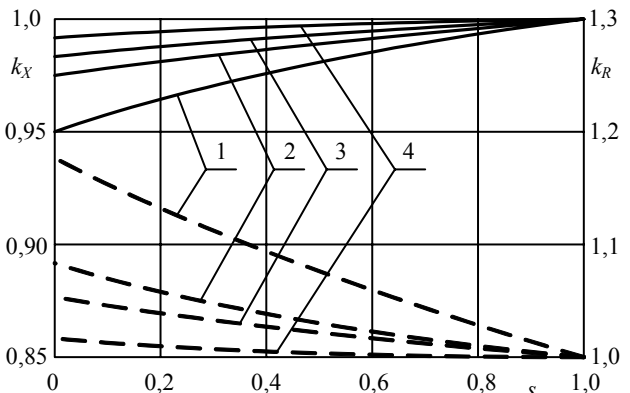
čia  $\omega_v^\pm = 2\pi f_1 s_v^\pm$ ;  $\mu_0$  – magnetinė konstanta;  $\gamma$  – apvijos elektrinis laidis.

### Skaičiavimų rezultatai ir analizė

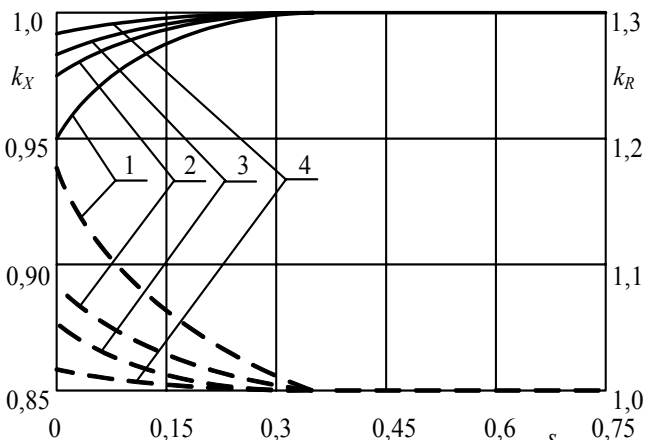
Ovalinių pusiau uždarų, užlietų aliuminiu rotoriaus griovelų koeficientų  $k_R$  ir  $k_X$  priklausomybės nuo slydimo, esant įvairiems griovelų aukščiams, pavaizduotos 2–6 paveiksluose.

Iš 1 paveikslėlio matome, kad elektrovarų ir srovės dažnis sukeltas atvirkštinų magnetinių laukų, esant mažiemis slydimais (nuo tuščiosios veikos iki kritinio slydimo), yra keletą kartų didesnis už srovės dažnį, sukelta tiesioginių magnetinių laukų. Todėl, analizojant 2, 3, 4, 5, 6 paveikslus, matyti, kad koeficientų, įvertinančių rotoriaus varžų dydžių pasiskirstymus, atsiradusius dėl paviršiaus reiškinio, vertės sparčiau didėja esant atvirkštinų sukuriamų laukų harmonikoms. Kadangi atvirkštinų magnetinių sukuriamų laukų dažnis didėja tolygiai, tai

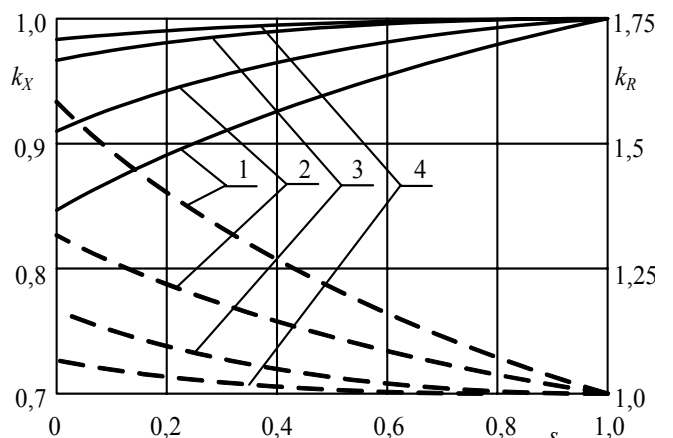
srovės išstūmimo efektas jau gali būti vertinamas nuo paleidimo režimo ( $s = 1$ ) vertės (kai grioveliai yra giliūs).



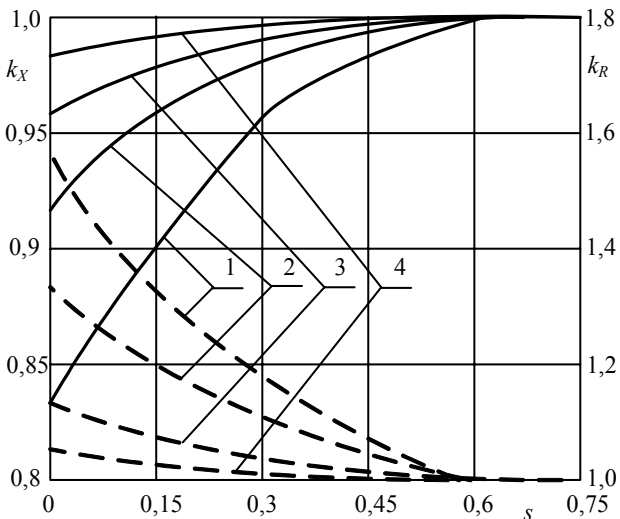
**2 pav.** Koeficientų  $k_R$  (punktyninė linija) ir  $k_X$  (ištisinė linija) priklausomybės nuo slydimo, atsižvelgiant į pirmosios atvirkštinio magnetinio lauko harmonikos įtaką: 1 –  $h=1,2 \cdot 10^{-2}$  m; 2 –  $h=1,0 \cdot 10^{-2}$  m; 3 –  $h=0,8 \cdot 10^{-2}$  m; 4 –  $h=0,6 \cdot 10^{-2}$  m



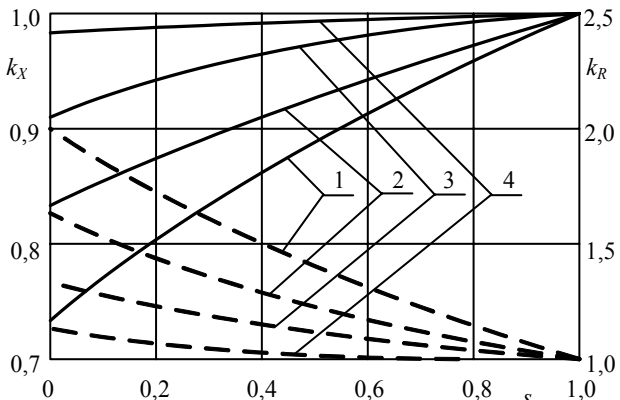
**3 pav.** Koeficientų  $k_R$  (punktyninė linija) ir  $k_X$  (ištisinė linija) priklausomybės nuo slydimo, atsižvelgiant į trečiosios tiesioginio magnetinio lauko harmonikos įtaką: 1 –  $h=1,2 \cdot 10^{-2}$  m; 2 –  $h=1,0 \cdot 10^{-2}$  m; 3 –  $h=0,8 \cdot 10^{-2}$  m; 4 –  $h=0,6 \cdot 10^{-2}$  m



**4 pav.** Koeficientų  $k_R$  (punktyninė linija) ir  $k_X$  (ištisinė linija) priklausomybės nuo slydimo, atsižvelgiant į trečiosios atvirkštinio magnetinio lauko harmonikos įtaką: 1 –  $h=1,2 \cdot 10^{-2}$  m; 2 –  $h=1,0 \cdot 10^{-2}$  m; 3 –  $h=0,8 \cdot 10^{-2}$  m; 4 –  $h=0,6 \cdot 10^{-2}$  m



**5 pav.** Koeficientų  $k_R$  (punktyninė linija) ir  $k_X$  (ištisinė linija) priklausomybės nuo slydimo, atsižvelgiant į penktosios tiesioginio magnetinio lauko harmonikos įtaką: 1 –  $h=1,2 \cdot 10^{-2}$  m; 2 –  $h=1,0 \cdot 10^{-2}$  m; 3 –  $h=0,8 \cdot 10^{-2}$  m; 4 –  $h=0,6 \cdot 10^{-2}$  m

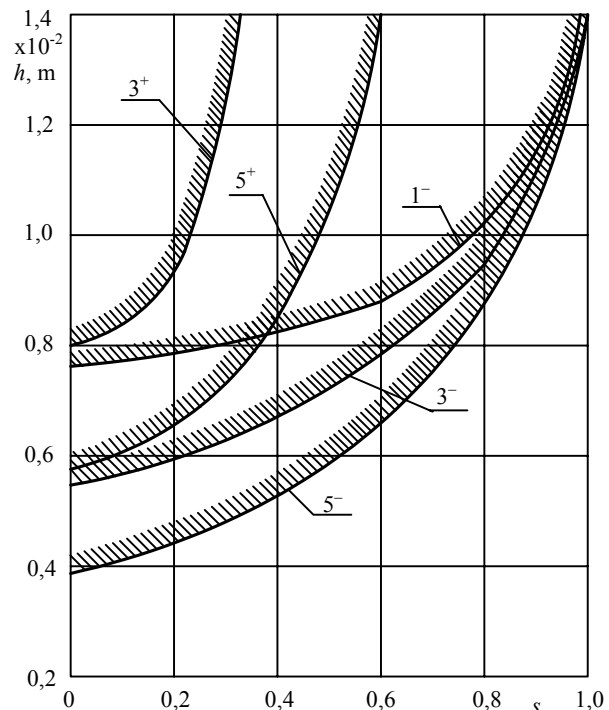


**6 pav.** Koeficientų  $k_R$  (punktyninė linija) ir  $k_X$  (ištisinė linija) priklausomybės nuo slydimo, atsižvelgiant į penktosios atvirkštinio magnetinio lauko harmonikos įtaką: 1 –  $h=1,2 \cdot 10^{-2}$  m; 2 –  $h=1,0 \cdot 10^{-2}$  m; 3 –  $h=0,8 \cdot 10^{-2}$  m; 4 –  $h=0,6 \cdot 10^{-2}$  m

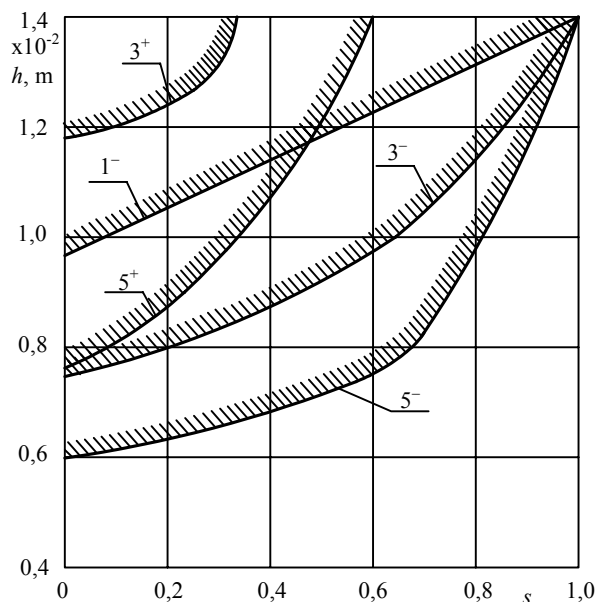
Tiesioginių sukuriamų magnetinių laukų srovų dažnis iki sinchroninio tos harmonikos greičio sumažėja iki nulio, o paskui pradeda didėti. Tiesioginių sukuriamų magnetinių laukų rotoriuje sukurta srovė paviršiaus reiškinį reikia pradėti vertinti tik nuo atitinkamo slydimo. Kaip matome iš 1 paveikslėlio,  $3^+$  harmonika pasiekia srovės dažnį 50 Hz rotoriuje, kai  $s = 0,33$ ,  $5^+$  harmonika kai  $s = 0,6$ . Bet kuriuo atveju skaičiuojant nominaliuosius režimus ( $s = 0,05 \dots 0,1$ ) iki maksimaliojo momento ( $s = 0,2 \dots 0,3$ ) neįvertinus rotoriaus varžų pasikeitimo dėl paviršiaus reiškinio, galima gauti paklaidas skaičiuojant variklio techninės energinės charakteristikas.

Kaip matome iš pateiktos medžiagos, kritinis griovelio aukštis mažėja slydimui mažėjant; taip pat jis mažėja ir didėjant magnetinio lauko harmonikos eilės numeriui.

7 ir 8 paveiksluose plokštumoje  $h$  ir  $s$  pavaizduotos linijos  $k_R = 1,03 = \text{const}$  ir  $k_X = 0,97 = \text{const}$ . Jos rodo, kokiam slydimui esant galima išlaikyti 3 % rotoriaus varžų skaičiavimų tikslumą.



**7 pav.** Rotoriaus strypo aukščio priklausomybė nuo slydimo, kai koeficientas  $k_R=1,03=\text{const}$



**8 pav.** Rotoriaus strypo aukščio priklausomybė nuo slydimo, kai koeficientas  $k_X=0,97=\text{const}$

Autorių pasiūlyta rotorių varžų skaičiavimo metodika, išvertinant paviršiaus reiškinį esant nominaliajam slydimui, panaudota kuriant vienfazinių asynchroninių variklių AD2,5–4; AD4–4; AD6–4; AD10–4; AD16–4 ir AD25–4 seriją.

## Išvados

Jei asynchroniniuose varikliuose magnetinis laukas turi aukštesniųjų harmonikų, tai paviršiaus reiškinys rotoriaus strypuose pasireiškia ir esant mažiemis slydimams.

Esant mažiem slydimams, aukštesniųjų harmonikų srovį rotorioje dažnis didėja ir srovės rotorio strypuose paviršiaus reiškinys prasideda esant mažesniems strypu aukščiams už visuotinai priimtus (pavyzdžiu, esant 3<sup>-</sup> harmonikai, jis pasireiškia nuo  $h = 0,55 \cdot 10^{-2}$  m, esant 5<sup>-</sup> harmonikai, nuo  $h = 0,4 \cdot 10^{-2}$  m, kai apvijos strypai alumininiai).

## Literatūra

1. **Emde F.** Über einseitige Stromverdrangung in Ankerleiteern, E und M, 24, 1908. –703 s.
2. **Schusky V.** Stromverdrangungsmotoren, Arch. Elektrotechn. 27, 1933. – 185 s.
3. **Шуйский В.П.** Расчет электрических машин. – Ленинград: Энергия, 1968. –731с.
4. **Клоков Б.К.** Расчет вытеснения тока в стержнях произвольной конфигурации // Электротехника, 1969. – №9. – С. 25–29.
5. **Клоков Б.К., Фисенко В.Г., Щуканов В.И.** Расчет на ЭВМ вытеснения тока в стержнях сложной конфигурации // Специальные электрические машины для электротехнических систем. Труды. МЭИ. – Москва. – Вып. 410, 1979. – С. 14–17.
6. **Копылов И.П., Клоков Б.К., Морозкин В.П., Токарев Б.Ф.** Проектирование электрических машин / Под ред. И.П. Копылова. Изд. 3-е, испр. и доп. – Москва: Высшая школа, 2002. –756 с.

Pateikta spaudai 2004 05 12

**V. Katkevičius, S. Gečys, A. Kalvaitis. Paviršiaus reiškinys asynchroninių ryškiapolių elektros variklių rotoriuose // Elektronika ir elektrotechnika. – Kaunas: Technologija, 2004. – Nr. 6(55). – P. 49 – 52.**

Vienfaziuose asynchroniniuose ryškiapoliuose varikliuose susikuria to paties numero harmonikos tiesioginiai ir atvirkštiniai sukimieji magnetiniai laukai. Kartais aukštesniosios harmonikos magnetinio lauko vertė gali būti artima pagrindinio lauko vertei. Šie aukštesniųjų harmonikų sukimieji magnetiniai laukai indukuoja rotorioje elektrovaras, kurį dažnis, mažėjant rotorio slydumui, didėja. Pateiktos elektrovarų, indukuotų to paties numero tiesioginių ir atvirkštinų sukimųjų magnetinių laukų harmonikų rotorioje, dažnių priklausomybės nuo slydimo. Apskaičiuotos rotorio varžų pasikeitimų koeficientų  $k_R$  ir  $k_X$  vertės slydumui kintant nuo 0 iki 1, pirmajai, trečiajai bei penktajai tiesioginių ir atvirkštinų sukimųjų magnetinių laukų harmonikoms, kai strypu aukščiai yra:  $h = 1,2 \cdot 10^{-2}$  m;  $h = 1,0 \cdot 10^{-2}$  m;  $h = 0,8 \cdot 10^{-2}$  m;  $h = 0,6 \cdot 10^{-2}$  m. Taip pat pateikti grafikai, vaizduojantys ekvipotencialines linijas ( $k_R = 1,03 = const$  ir  $k_X = 0,97 = const$ ) slydimo  $s$  ir strypu aukščio  $h$  plokštumose. Vienfaziams asynchroniniams ryškiapoliams varikliams, dirbantiems mažais slydimaus, nustatytas kritinis rotorio strypo aukštis, kuriam esant reikėtų vertinti paviršiaus reiškinį. Il. 8, bibl. 6 (lietuvių kalba; santraukos lietuvių, anglų ir rusų k.).

**V. Katkevičius, S. Gečys, A. Kalvaitis. Skin–Effect in the Rotor of Induction Salient – Pole Electric Motor // Electronics and Electrical Engineering. – Kaunas: Technologija, 2004. – № 6 (55). – P. 49 – 52.**

The same harmonic components of forward and backward rotating magnetic fields are created in the single – phase induction salient – pole motor. The magnitudes of higher order harmonics of these fields may be of the same order as a fundamental. These rotating fields of higher harmonics induce in the rotor electromotive forces the frequency of which increase while the rotor slip decrease. The frequency dependences upon slip of electromotive forces induced from 1, 3, 5-th forward and backward rotating magnetic fields harmonics in the rotor are presented. The values of the rotor resistance change coefficients from 1, 3, 5 forward and backward rotating field harmonics at slip range from 0 till 1 are calculated when the rotor slot depth values are the following:  $h = 1,2 \cdot 10^{-2}$  m;  $h = 1,0 \cdot 10^{-2}$  m;  $h = 0,8 \cdot 10^{-2}$  m;  $h = 0,6 \cdot 10^{-2}$  m. The graphs representing equipotential lines ( $k_R = 1,03 = const$ ,  $k_X = 0,97 = const$ ) at slip and rotor slot depth plane are given. The critical rotor slot depth is determined when the skin – effect may be evaluated for the induction salient – pole motors operating at low slip. Ill. 8, bibl. 6 (in Lithuanian; summaries in Lithuanian, English, Russian).

**В. Каткевичюс, С. Гячис, А. Калвайтис. Эффект вытеснения тока в роторе асинхронного явнополюсного электродвигателя // Электроника и электротехника. – Каунас: Технология, 2004. – № 6 (55). – С. 49–52.**

В асинхронных однофазных явнополюсных двигателях имеют место прямо и обратно вращающиеся магнитные поля, пространственных гармоник данного порядка, величина которых может быть соизмеримой с основной. Данные поля в обмотке ротора наводят электродвижущие силы, частота которых с уменьшением скольжения растёт. Показаны зависимости частоты электродвижущих сил от скольжения для прямо и обратно вращающихся полей 1, 3, 5 гармоник. Рассчитаны изменения коэффициентов вытеснения ротора  $k_R$  и  $k_X$ , при изменении скольжения ротора от 0 до 1 для глубин паза:  $h = 1,2 \cdot 10^{-2}$  м;  $h = 1,0 \cdot 10^{-2}$  м;  $h = 0,8 \cdot 10^{-2}$  м;  $h = 0,6 \cdot 10^{-2}$  м для прямо и обратно вращающихся полей 1, 3, 5 гармоник. Представлены графики эквипотенциальных линий ( $k_R = 1,03 = const$ ,  $k_X = 0,97 = const$ ) в плоскости скольжения  $s$  и глубины паза  $h$ . Определены критические глубины паза ротора, при которых необходимо учитывать эффект вытеснения тока. Ил. 8, библ. 6 (на литовском языке; рефераты на литовском, английском и русском яз.).